

## SÍNTSESE E CARACTERIZAÇÃO DE CONDUTORES PROTÔNICOS DO TIPO BaCe<sub>x</sub>-1Y<sub>x</sub>O<sub>3</sub>-ZnO PARA UTILIZAÇÃO EM CÉLULAS A COMBUSTÍVEL

**GONÇALVES, Wendy Anara Cristina Souza<sup>1</sup> (IC), FREITAS, Marcio Roberto<sup>1</sup>(PQ),**

<sup>(1)</sup>UNIVERSIDADE FEDERAL DE ITAJUBÁ – CAMPUS ITABIRA - Rua Irmã Ivone Drumond, 200  
- Distrito Industrial II, Itabira - MG, 35903-087

**Palavras-chave:** Cerato de bário. Condutores Protônicos. Ítrio. Óxido de Zinco. Óxido sólido.

### Introdução

### Resultados e discussão

As células a combustíveis são sistemas eletroquímicos que possuem a capacidade de transformar continuamente a energia química em energia elétrica. Essa forma de geração de energia produz uma quantidade muito baixa de gases poluentes, o que reduz o impacto ambiental para que essa condutividade protônica aconteça é necessária a inserção de íons prótons na matriz cristalina do material. Essas perovskitas exibem uma notável condutividade protônica em faixas de temperatura intermediária, entretanto, a condução protônica manifesta-se somente após a inserção de íons prótons na matriz cristalina do material para que inserção aconteça é necessário uma temperatura de sinterização relativamente alta o que pode ser energeticamente custoso e difícil de controlar. Uma alternativa para diminuição desses cursos e para facilitação do processo é a utilização de facilitadores de sinterização (dopantes). O presente estudo propõe a adição de 1% de óxido de zinco nos pós dopados pelo método de precursores poliméricos em quatro proporções diferentes (1%, 3%, 6%, 9%) de ítrio, visando obter a diminuição da temperatura de sinterização do material.

### Metodologia

Síntese do BaCeO<sub>3</sub> puro e dopado com Y pelo Método Pechini → dopagem 1% ZnO → moinho de bolas por 12 horas → Caracterização das amostras (DRX, TG, DTA, MEV, EDS) → compactação do pó por prensagem uniaxial → prensagem isostática a 5 toneladas → sinterização em dilatômetro até 1500°C com taxa de aquecimento de 5°C/min com atmosfera controlada → Análise da derivada da curva dilatométrica.

Figura 1 – Curva TG-DTA para a amostra de BCOY dopado 9% de ítrio.

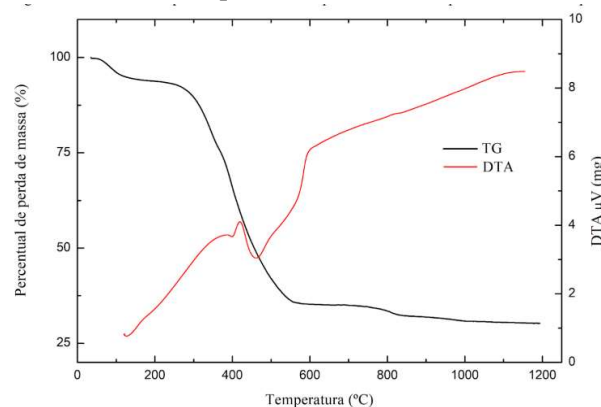


Tabela 1. Perda de massa e faixa de temperatura dos estágios citados

Estágio	Perda de massa (%)	Faixa de temperatura (°C)
1°	6,6%	40-230
2°	57%	270-570
3°	3%	720-875
4°	0,8%	950-1000

Figura 2 – Imagem MEV do BACOY respectivamente nas proporções puro, 1%, 3%, 6% e 9%

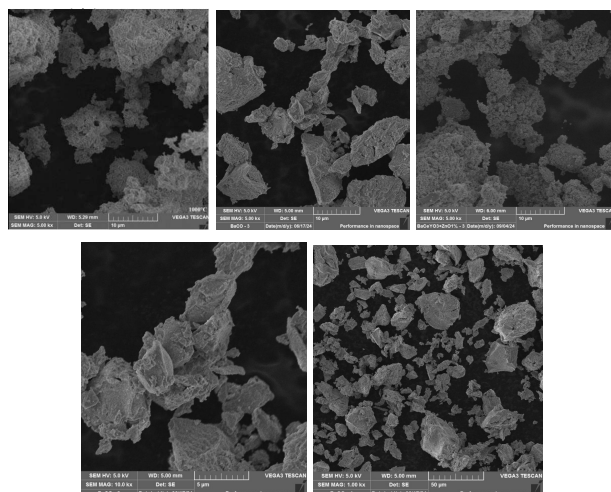


Figura 3. Difratogramas das amostras de BCO puro e dopado com 1%, 3%, 6% e 9% de ítrio, calcinados a 800°C.

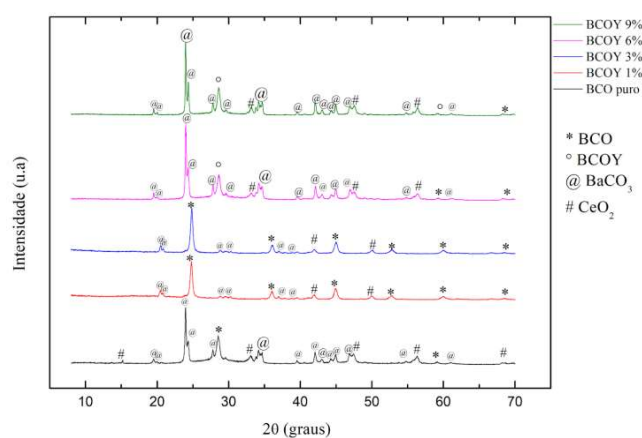


Figura 4. Comparaçao das derivadas das curvas de retração linear dos compostos de BCO puro, BCOY 1%, BCOY 3%, BCOY 6% e BCOY 9% (esquerda) BACOY nas mesmas proporções dopado com 1% de ZnO (direita)

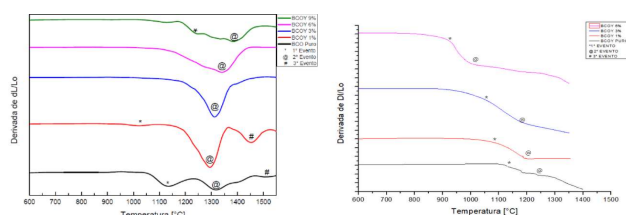


Tabela 2: Comparaçao de temperatura dos gráficos de retração linear

Composição	Temperatura de sinterização com adição de ítrio	Temperatura de sinterização com adição de ítrio e 1% de óxido de zinco
BCO	1316,76	1316,76
BCYO-1%-Y	1294,61	1240,27
BCYO-3%-Y	1311,36	1089,90
BCYO-6%-Y	1342,57	1098,32
BCYO-9%-Y	1385,77	--

## Conclusões

Pode-se constatar que a formação da fase principal ocorre a 1000°C. Após a dopagem com ítrio, a realização de algumas caracterizações sendo elas MEV/EDS (microscopia eletrônica de varredura) para observar as distorções na rede cristalina do material com aglomeração ou não de partículas. e DRX (Difração de raio-x) para avaliar a formação de óxidos e carbonatos e suas respectivas estruturas cristalinas posteriormente a eliminação dos compostos orgânicos após a sinterização. Com essas análises foi possível comprovar que a adição dopante ZnO (óxido de zinco) causou a diminuição da temperatura de síntese do material em estudo em no mínimo 100 °C pode-se observar também que nos materiais onde havia uma concentração maior da dopagem de ítrio a perda de massa iniciou-se em temperaturas mais baixas.

## Agradecimentos

Ao meu orientador Dr. Marcio Roberto por toda paciência e orientação ao decorrer do projeto.

Ao professor Dr. Francisco Moura, aos técnicos e estudantes do laboratório LIMAv.

A FAPEMIG pelo suporte financeiro durante todo o decorrer da pesquisa.

A UNIFEI pela oportunidade de ampliar meus conhecimentos.

## Referências

MACAMBIRA, Francisco José Desenvolvimento da microestrutura do BaCeO<sub>3</sub> dopado com ítrio sob a influência do ZnO como aditivo de sinterização: correlação com a condutividade protônica. 2013

BABILO, P. e HAILEW, S. Enhanced Sintering of Yttrium-Doped Barium Zirconate by Addition of ZnO. *J. Am. Ceram. Soc.*, v. 88, p.2362–2368, 2005

AMSIF, M. et. Al. The effect of Zn addition on the structure and transport properties of BaCe $0.9-x$ ZrxY $0.1$ O $3-\delta$ . *Journal of the European Ceramic Society*, v.34 , p. 1553–1562, 2014.

VIEIRA, Caroline Gomes de Sousa et al. TiO $_2$ : Ce obtido pelo método Pechini modificado para fotodegradação de azo-corante. 2015.

SILVA, P. R. N. Emprego de óxidos tipo perovskita nas oxidações do propano e CO. *Quim. Nova*, v.27, n.1, p. 35 - 41, 2004.

BRITO, Silvio Luiz Miranda; GOUVÊA, Douglas. Caracterização superficial de nanopartículas de BaTiO $_3$  preparado pelo método dos precursores poliméricos. *Cerâmica*, v. 56, p. 228-236, 2010.